

## Design and Expression of mGLP1-DARPin-Pen Trivalent Protein with Oral Potential for Type 2 Treatment in Tobacco Chloroplasts

Maryam Ehsasatvatan<sup>1</sup>  and Bahram Baghban Kohnehrouz<sup>2,\*</sup> 

1- Ph.D., Department of Plant Breeding & Biotechnology, Faculty of Agriculture, University of Tabriz, Tabriz, Iran

2- Associate Professor, Department of Plant Breeding & Biotechnology, Faculty of Agriculture, University of Tabriz, Tabriz, Iran

\*Corresponding author✉: [bahrambaghban.kr@tabrizu.ac.ir](mailto:bahrambaghban.kr@tabrizu.ac.ir)

**Citation:** Ehsasatvatan, M. and Baghban Kohnehrouz, B. (2024). Design and expression of mGLP1-DARPin-Pen trivalent protein with oral potential for type 2 treatment in tobacco chloroplasts. *Plant Genetic Researches*, **10(2)**: 1-18. <http://dx.doi.org/10.22034/PGR.10.2.10>

(Received: January 12, 2024; Final Revised: February 20, 2024; Accepted: March 5, 2024; Published online: March 17, 2024)

### Extended abstract

### Introduction

Type 2 diabetes mellitus (T2DM) is characterized by progressive hyperglycemia, peripheral insulin resistance, and β-cell dysfunction. It is a chronic disease that is one of the leading causes of high mortality and morbidity rates. Therefore, the development of drugs that lower blood glucose levels in T2DM patients is crucial. Glucagon-like peptide-1 (GLP-1) receptor agonists are increasingly being used in clinical practice for the management of type 2 diabetes mellitus. The potent glucagon-like peptide 1 (GLP-1), a natural small incretin hormone, enhances insulin secretion in a glucose-dependent manner. However, the extremely short half-life of GLP-1 and the need for its subcutaneous administration limit its clinical application. Thus, half-life extension and alternative delivery methods are highly desired. DARPin domains with a high affinity for human serum albumin (HSA) have been selected for the half-life extension of therapeutic peptides and proteins. In our previous study, we designed trivalent fusion proteins as oral candidates for long-acting GLP-1R agonists by genetically fusing a protease-resistant modified GLP-1, HSA-binding DARPin, and a Penetratin cell-penetrating peptide. The aim of this study was to develop a bioprocess for the production of long-lasting GLP-1 in tobacco chloroplasts as GLP-1receptor agonist with potential for oral delivery in a bioencapsulated form in plant cells for the treatment of type 2 diabetes mellitus.

### Materials and methods

The nucleotide sequences of the constructed fusion genes were deduced from their amino acid sequences and codon-optimized based on the codon usage of tobacco (*Nicotiana tabacum*) chloroplasts. To facilitate immunogenic detection of the fusion protein, the histidine tag sequence was embedded at the 5' end of the fusion protein-encoding sequence. The final fusion protein-encoding cassette with translation control elements was subcloned into the pPRV111A plastidial vector. Transformation was performed using the particle bombardment method on tobacco leaf explants and the regeneration of transplastomic plants in selection medium containing 500 mg/l streptomycin. PCR and Southern blot analyses were used to confirm the integration of transgenes, as well as chloroplastic and cellular homoplasmy. Western blot analysis was used to assess the accumulation of the mGLP1-DARPin-Pen fusion protein in the chloroplasts of transplastomic plants. ELISA was used to estimate the fusion protein content in the leaves of the transplastomic plants.



©2023 The author(s). This is an open access article distributed under [Creative Commons Attribution 4.0 International License \(CC BY 4.0\)](#), which permits use, sharing, adaptation, distribution and reproduction in any medium or format, as long as you give appropriate credit to the original author(s) and the source.

## Results and discussion

Tobacco chloroplasts were successfully transformed with trivalent fusion protein-coding gene using a pPRV111A chloroplastic expression vector. Homoplasmic transplastomic plants were obtained after three rounds of selection in a selection medium containing 500 mg/L spectinomycin and streptomycin. Transgene integration as well as chloroplastic and cellular homoplasmic status in transplastomic plants were confirmed by PCR and Southern blot analyses. Western blot analysis confirmed the accumulation of the mGLP1-DARPin-Pen fusion protein in the chloroplasts of the transplastomic plants. The fusion protein content estimated by ELISA was 21.8% of the total soluble protein content in the leaves of the transplastomic plants.

## Conclusion

Our study aimed to express a long-lasting GLP-1R agonist as an oral candidate for type 2 diabetes treatment in tobacco chloroplasts. The expenses associated with diabetes treatment and the need for frequent subcutaneous injections of drugs are attributable to the high cost of production and purification in conventional recombinant protein production systems. By utilizing a plant expression system to produce oral analogs of medicinal peptides and proteins, the cost of production can be reduced, thereby offering an effective alternative to traditional expression and administration systems. This study presents an opportunity to develop a new biological process for the production of GLP-1-based oral drugs for the treatment of type 2 diabetes. The successful production of a functional fusion protein in tobacco chloroplast GLP-1 receptor agonist indicates that the production of functional GLP-1 in plants will facilitate the development of a low-cost, orally deliverable form of this drug as a bioencapsulated form in plant cells for the treatment of type 2 diabetes. These findings provide a promising foundation for extending the results to edible plants, such as lettuce and spinach, and for producing biological capsules containing this peptide drug with high therapeutic and economic value. Access to the mass production of any anti-diabetic molecule in plants using a plastid-based platform opens up a new area in the coming age of synthetic biology for fast and accurate assessment and examination of biopharmaceuticals or biologically active constituents. Further *in vitro* and *in vivo* confirmation of the activities observed in this study is strongly recommended, and ongoing efforts are underway in this direction.

**Keywords:** Chloroplast transformation, Glucagon like peptide 1, Tobacco, Transplastomic, Type 2 diabetes mellitus



دانشگاه لرستان

# پژوهش‌های ژنتیک گیاهی

جلد ۱۰، شماره ۲، ۱۴۰۲



شاپا الکترونیکی: ۳۷۶-۳۰۹

<http://dx.doi.org/10.22034/PGR.10.2.10>

مقاله پژوهشی

## طراحی و بیان پروتئین سه‌جزوی mGLP1-DARPin-Pen با پتانسیل مصرف خوراکی برای درمان دیابت نوع ۲ در کلروپلاست توتون

مریم احساسات‌وطن<sup>۱</sup> و بهرام باغان کهنه‌روز<sup>۲\*</sup>

۱- دکتری تخصصی، گروه بهنژادی و بیوتکنولوژی گیاهی، دانشکده کشاورزی، دانشگاه تبریز، تبریز

۲- دانشیار، گروه بهنژادی و بیوتکنولوژی گیاهی، دانشکده کشاورزی، دانشگاه تبریز، تبریز

(تاریخ دریافت: ۱۴۰۲/۱۰/۲۲؛ تاریخ آخرین ویرایش: ۱۴۰۲/۱۲/۰۱؛ تاریخ پذیرش: ۱۴۰۲/۱۵/۱۲؛ تاریخ انتشار پرخط: ۱۴۰۲/۱۲/۲۸)

### چکیده

شیوع جهانی دیابت نوع ۲ به‌طور مداوم در حال افزایش بوده و در حال حاضر هیچ درمان قطعی برای دیابت نوع ۲ وجود ندارد. پیتید شبه گلوکاگون-۱ (GLP-1) به عنوان یک هورمون طبیعی اینکرتبینی کوچک تولید انسولین را به شیوه‌ی وابسته به گلوکز افزایش می‌دهد. با این حال، نیمه‌عمر بسیار کوتاه GLP-1 کاربرد درمانی آن را محدود می‌کند. از دارپین متصل شونده به آلبومین می‌توان برای افزایش نیمه‌عمر سرمی پروتئین‌های دارویی، پیتیدها و ترکیبات کوچک استفاده کرد. در این مطالعه، یک نسخه طولانی اثر با پتانسیل خوراکی از آگونیست گیرنده GLP-1 شامل pPRV111A و مقاوم به پروتئاز، به صورت هم‌جوش با دارپین متصل شونده به آلبومین و پتراتین به عنوان پیتید نفوذکننده به سلول، به صورت کپسوله شده در کلروپلاست برای محافظت در برابر سیستم گوارش در سلول‌های گیاهی توتون بیان شد. تاریختی موفق کلروپلاست‌های توتون با ژن‌های رمزکننده پروتئین هم‌جوشی به‌واسطه ناقل کلروپلاستی mGLP1-DARPin-Pen با استفاده از تفنگ ژنی انجام شد. گیاهان ترانسپلاستوم هموپلاسم پس از سه دوره گزینش در محیط گزینش حاوی ۵۰۰ میلی‌گرم در لیتر از اسپکتینومایسین و استرپتومایسین به دست آمدند. درج تراژن و وضعیت هموپلاسمی در گیاهان ترانسپلاستوم توسط PCR و لکه‌گذاری سادرن تأیید گردید. آزمون لکه‌گذاری و سترن تجمع پروتئین هم‌جوشی سه‌جزوی mGLP1-DARPin-Pen در گیاهان ترانسپلاستوم را تأیید نمود و محتوی پروتئین هم‌جوشی تولید شده در کلروپلاست گیاهان ترانسپلاستوم با استفاده از الایزا، ۲۱/۸ درصد پروتئین محلول کل برگ برآورد شد. بیان موفق پروتئین هم‌جوشی طراحی شده در این مطالعه نشان می‌دهد که تولید GLP-1 در گیاهان، می‌تواند یک شکل ارزان قیمت و خوراکی از این دارو را برای درمان دیابت نوع ۲ فراهم کند.

**واژگان کلیدی:** پیتید شبه گلوکاگون-۱، تاریختی کلروپلاستی، ترانسپلاستوم، توتون، دیابت نوع ۲

\* نویسنده مسئول، آدرس پست الکترونیکی: bahrambaghban.kr@tabrizu.ac.ir

## مقدمه

آن با اتصال به پروتئین‌های مانند ترانسفرین (Kim *et al.*, 2010)، آلبومین (St Onge and Miller, 2010) و پلی‌پپتیدهای شبیه‌الاستین (Luginbuhl *et al.*, 2017) انجام شده است. از سوی دیگر تجویز این دارو از طریق تزریق زیر جلدی نیز سهولت استفاده از آن را برای بیمار محدود می‌کند (Dibonaventura *et al.*, 2010).

منطقه مخاطی روده انسان یک سطح ایده‌آل برای تحويل دارو ارائه می‌دهد. با این حال، دو چالش عمدۀ و کلیدی که مانع از توسعه فرمولاسیون داروی پپتیدی خوراکی می‌شوند، شامل ناپایداری آن‌ها در دستگاه گوارش و توانایی محدود آن‌ها برای عبور از اپیتلیوم روده است. اگرچه از راهبرد کپسوله کردن با پلیمرهای مقاوم به اسید معده برای غلبه بر این مشکلات استفاده می‌شود، تحويل خوراکی پروتئین‌های دارویی به صورت کپسول زیستی در کلروپلاست و سلول‌های گیاهان نیز به عنوان یک رویکرد تسهیل کننده و مقرن‌به‌صرفه، بدون نیاز به حفظ زنجیره سرما، فرآیندهای پرهزینه خالص‌سازی و تزریق‌های مکرر Arntzen, 2015; Yusibov *et al.*, 2011; Zarindast *et al.*, 2023 معرفی شده است (Limaye *et al.*, 2006; Xiao *et al.*, 2016). آنزیم‌های گوارشی انسان قادر به شکستن تمام پیوندهای گلیکوزیدی در دیواره سلولی گیاه نیستند و هنگامی که سلول‌های گیاهی دست‌نخورده حاوی پروتئین‌های دارویی به روده می‌رسند، دیواره سلولی گیاه توسط میکروب‌های همزیست هضم شده و پروتئین‌های دارویی آزاد می‌شوند (Flint *et al.*, 2012; Martens *et al.*, 2011).

مهندسی ژنوم کلروپلاستی به طور عمده به عنوان یک رهیافت ارزشمند برای بیان ژن‌های متنوع از منابع گوناگون و همچنین ژن‌های طراحی شده و کاملاً ساختگی جهت تولید فرآورده‌های با ارزش اقتصادی بالا در حال انجام است. علاوه‌بر این، ماندگاری طولانی و پایداری

دیابت نوع ۲ یک بیماری شایع و یکی از علل اصلی Collaborators and مرگ‌ومیر در سراسر جهان است (Arnlöv, 2020; Litwak *et al.*, 2013). شیوع جهانی این بیماری در سال ۲۰۲۱ حدود ۵۳۶ میلیون نفر از افراد بالغ برآورد شده است و پیش‌بینی می‌شود تا سال ۲۰۴۵، این تعداد به ۶۲۹ میلیون نفر برسد (Sun *et al.*, 2022). علاوه‌بر غلظت بالای گلوکز، بیماران دیابتی، مستعد ابتلا به عوارض دیگری مانند بیماری قلبی، سکته مغزی، فشارخون بالا، نابینایی و مشکلات چشمی، نارسایی کلیه، بیماری‌های مربوط به سیستم عصبی، قطع عضو و غیره هستند. علی‌رغم پیشرفت‌های جاری در درمان دیابت، دستیابی به کنترل قند خون مطلوب اغلب دشوار بوده و هنوز تقاضای فرایندهای برای عوامل درمانی با قابلیت کاهش سطح گلوکز پلاسمای مدیریت پیشرفت بیماری وجود دارد.

یکی از گزینه‌های درمانی جدید برای درمان دیابت نوع ۲، درمان‌های مبتنی بر اینکرتن و عمده‌تاً با محوریت پپتید شبه گلوکاگون-۱ (GLP-1) است. پپتید GLP-1 یک هورمون طبیعی اینکرتنی کوچک است که از سلول‌های L روده باریک در پاسخ به هضم مواد غذایی ترشح می‌شود و نقش فیزیولوژیکی اصلی آن ایجاد ارتباط بین مصرف مواد مغذی با متابولیسم گلوکز از طریق شبکه‌ای از مسیرهای تنظیمی است (Mojsov, 2000). با این حال، یکی از معایب اصلی GLP-1 که کاربرد درمانی آن را محدود می‌کند، نیمه‌عمر پایین آن در شرایط فیزیولوژیکی است که به برش سریع پیوند آمیدی اسید‌آمینه آلانین در موقعیت ۸ توسط آنزیم دی‌پپتیدیل پپتیداز IV (DPP-IV) و پاکسازی آن از طریق Eissa *et al.*, 2021; Kieffer *et al.*, 1995; Reed *et al.*, 2020 بسیاری برای شناسایی و تولید بازدارنده‌های DPP-IV (Chen *et al.*, 2007; Kushwaha *et al.*, 2015)، ایجاد تغییرات ساختاری در GLP-1، جستجوی آنالوگ‌های ساختاری مقاوم در برابر برش پروتولیتیک DPP-IV (Johnson *et al.*, 2014) و افزایش شعاع هیدرودینامیکی

توتون با ژن رمزکننده پروتئین همجوشی-mGLP1-Pen از ناقل کلروپلاستی pPRV111A با شماره Zoubenko *et al.*, (GenBank U12812.1 در ۱۹۹۴) استفاده شد. ناقل pPRV111A به طول ۷۲۰۰ جفت‌باز حاوی ژن شیمر آمینوگلیکوزید ۳'-آدنیلیل‌ترانس‌فراز (*aadA*) (اعطاکننده مقاومت به اسپکتینومایسین/استریپتومایسین) و توالی دو ناحیه *rps12* و *rrn16* (که سبب انجام نوترکیبی همتای دوگانه و درج *rps12* و ژن *aadA* در بین ژن‌های *rps12* و کلروپلاست توتون می‌شود)، بود. پروتئین همجوشی GLP1-DARPin-Pen با اتصال توالی تغییریافته GLP-1 مقاوم به پروتئاز (به طول ۳۰ اسید‌آمینه) به دارپین متصل شونده به آلبومین (به طول ۱۲۳ اسید‌آمینه) برای افزایش نیمه‌عمر آن (Steiner *et al.*, 2017) و پتراتین (به طول ۱۶ اسید‌آمینه) به عنوان یک پیپلید نفوذکننده به سلول (Kristensen and Nielsen, 2016) همجوشی از سلول‌های اپتیلیوم روده طراحی شد. برچسب هیستیدینی جهت تسهیل تشخیص ایمونولوژیک پروتئین همجوشی طراحی شده در انتهای آمینی پروتئین همجوشی تعییه شد. توالی نوکلئوتیدی پروتئین همجوشی با استفاده از ترجمه معکوس توالی آمینواسیدی آن بر اساس رمزهای ترجیحی کلروپلاست توتون و با محاسبه شاخص سازگاری کدون و محتوای GC، با استفاده از نرمافزار backtranseq (https://www.ebi.ac.uk/Tools/st/emboss\_backtranseq/) به دست آمد. از جایگاه‌های برش آنزیمی *XhoI* و *NcoI* به ترتیب در انتهای ۵' و ۳' توالی طراحی شده برای همسانه‌سازی ژن رمزکننده پروتئین همجوشی طراحی شده در ناقل پلاستیدی pPRV111A استفاده شد. توالی نوکلئوتیدی بهینه‌شده کدونی برای سنتز از طریق شرکت واسطه به شرکت GenScript® کشور آمریکا ارسال و پس از سنتز در پلاسمید pBlueScript II SK(+) در جایگاه برش *EcoRV* همسانه‌سازی شد. توالی سنتز شده پس از دریافت با استفاده از آنزیم‌های برشی *NcoI* و *XhoI* در ناقل پلاستیدی pPRV111A برای بیان تحت راهانداز *rrn* توتون، ناحیه غیرترجمه‌شونده ۵' ژن ۱۰ فاز T7 و توالی

پروتئین‌های دارویی برای کاربردهای بالینی موفق این پروتئین‌ها، ضروری است. داروهای نوترکیب پروتئینی ساخته شده در کلروپلاست و ذخیره شده در سلول‌های گیاهی لیوفیلیزه، در دمای محیط پایدار بوده و در مدت بالاتری تاخوردگی صحیح و عملکرد خود را حفظ می‌کنند و در نتیجه نیاز به حفظ زنجیره سرما در طول ذخیره‌سازی و حمل و نقل از بین می‌رود (Ehsasatvatan and Baghban Kohnehrouz, 2023b; Ehsasatvatan and Baghban Kohnehrouz, 2023d; Su *et al.*, 2015).

گیاه توتون به دلیل قابلیت تاریختی و بازیابی کارآمد و ویژگی‌های زراعی مطلوب برای تولید پروتئین‌های نوترکیب مورد توجه بوده است و به عنوان موفق‌ترین گیاه در تاریختی پلاستیدی معرفی شده است (Biemelt and Sonnewald, 2005). با اینکه در خالص‌سازی و استخراج پروتئین‌های نوترکیب گزارشی مبنی بر حضور نیکوتین در فرآورده نهایی پروتئینی دیده نشده است، در این تحقیق از رقمی با سطح آنکالوئیدی پایین برای تولید پروتئین همجوشی سه‌جزئی طراحی شده، استفاده شد. هدف این تحقیق بیان یک آنالوگ مقاوم به پروتئاز و با نیمه‌عمر بالا با پتانسیل تحويل خوارکی به صورت کپسوله شده در سلول‌های گیاهی برای درمان دیابت نوع ۲ بود. به این منظور پروتئین همجوشی سه‌جزئی mGLP1-DARPin-Pen شامل GLP-1 تغییریافته مقاوم به پروتئاز، دارپین متصل شونده به آلبومین سرم انسانی برای افزایش نیمه‌عمر GLP-1 و پتراتین به عنوان پیپلید نفوذکننده به سلول به صورت پروتئین همجوشی در کلروپلاست گیاه مدل توتون بیان شد. نتایج درج ژن و وضعیت هموپلاسمی گیاهان ترانسپلاستوم با استفاده از PCR و لکه‌گذاری سادرن و بیان موفق آن با استفاده از لکه‌گذاری وسترن و الیزا گزارش می‌شود.

## مواد و روش‌ها

این تحقیق در سال ۱۴۰۲ در آزمایشگاه مهندسی ژنتیک دانشکده کشاورزی، دانشگاه تبریز اجرا شده است. تهیه ناقل پلاستیدی حاوی ژن رمزکننده پروتئین همجوشی: در این تحقیق، به منظور تاریختی کلروپلاست

هر دو هفته یکبار تا ظهور گیاهچه‌های مقاوم به اسپکتینومایسین در محیط کشت انتخابی، انجام شد. به‌منظور دستیابی به هموپلاسمی، سه دوره گرینش در حضور آنتی‌بیوتیک‌های اسپکتینومایسین و استروپتومایسین انجام شد. تأیید اولیه تاریخی با استفاده از PCR: برای تأیید اولیه حضور تراژن و تعیین وضعیت هموپلاسمی گیاهچه‌های ترانسپلاستوم مقاوم به اسپکتینومایسین از واکنش PCR استفاده شد. به این منظور DNA کل از برگ گیاهان ترانسپلاستوم و گیاه نوع وحشی به عنوان شاهد منفی به روش Doyle and Doyle, 1987) CTAB (درج استخراج شد. در تراژن در کلروپلاست توتون به روش PCR و با استفاده از آغازگرهای اختصاصی ژن (P1/P2) طبق برنامه دمایی ۳۵ و اسرشته‌سازی اولیه در دمای  $94^{\circ}\text{C}$  به مدت ۵ دقیقه، ۵۰ چرخه شامل دمای  $94^{\circ}\text{C}$  به مدت ۱ دقیقه و  $52^{\circ}\text{C}$  به مدت ۵۰ ثانیه و  $72^{\circ}\text{C}$  به مدت ۱ دقیقه و بسط نهایی در دمای  $72^{\circ}\text{C}$  به مدت ۷ دقیقه تأیید شد. برای تأیید درج کاست ژنی در ناحیه صحیح آن در ژنوم کلروپلاست (بین ژن‌های 16S rRNA و 16SrDNA) از آغازگر طراحی شده از ژنوم کلروپلاست در بالادست و نزدیک به ناحیه نوترکیبی به عنوان آغازگر رفت و از آغازگر طراحی شده از ژن aadA به عنوان آغازگر برگشت (P3/P5) طبق برنامه دمایی و اسرشته‌سازی اولیه در دمای  $94^{\circ}\text{C}$  به مدت ۵ دقیقه، ۳۵ چرخه شامل دمای  $94^{\circ}\text{C}$  به مدت ۱ دقیقه، ۵۰  $57^{\circ}\text{C}$  به مدت ۱ دقیقه و  $72^{\circ}\text{C}$  به مدت ۴ دقیقه و بسط نهایی در دمای  $72^{\circ}\text{C}$  به مدت ۱۰ دقیقه استفاده گردید. برای تأیید درج یکپارچه کاست ژنی در گیاهان ترانسپلاستوم از آغازگرهای طراحی شده از ژنوم کلروپلاست در نواحی جناحین ناحیه درج کاست ژنی طبق برنامه دمایی ۳۵ و اسرشته‌سازی اولیه در دمای  $94^{\circ}\text{C}$  به مدت ۵ دقیقه، ۱ چرخه شامل دمای  $94^{\circ}\text{C}$  به مدت ۱ دقیقه، ۵۸  $58^{\circ}\text{C}$  به مدت ۱ دقیقه و  $72^{\circ}\text{C}$  به مدت ۳ دقیقه و بسط نهایی در دمای  $72^{\circ}\text{C}$  به مدت ۱۰ دقیقه استفاده شد (P3/P4). مشخصات آغازگرهای استفاده شده در این تحقیق در جدول ۱ ارائه شده است. این آغازگرها با استفاده از نرمافزار Oligo نسخه ۷ طراحی شده و توسط شرکت GenScript® سنتز گردیدند.

Ehsasatvatan et al., ) *E. coli rrnB* باکتری (Zirhehmane‌سازی شد. ناقل پلاستیدی pPRV111A (2022b) دارای ژن باکتریایی مقاومت به آمپیسیلین است، بنابراین کلونی‌های نوترکیب در محیط کشت حاوی  $100\text{ mg/l}$  آمپیسیلین گرینش شده و پس از تائید جهت استخراج پلاسمید به‌منظور تاریخی کلروپلاست توتون استفاده شدند. مواد گیاهی: در این تحقیق، از گیاه توتون Nicotiana tabacum رقم Perega R.2-234 (مرکز تحقیقات توتون تیرتاش، مازندران) برای تاریخی استفاده شد. برای تهییه گیاهچه‌های استریل، بذرهای توتون به مدت ۲ دقیقه با آتانول  $70\text{ درصد و سپس ۱۵ دقیقه با محلول ۲۰ درصد (v/v)$  هیپوکلریت سدیم تجاری (حاوی  $5\text{ درصد کلر فعال}$ ) همراه با دو قطره توئین ضدغوفونی شدند. پس از ۵ بار شستشو با آب مقطار استریل هر کدام به مدت ۵ دقیقه، بذرهای ضدغوفونی شده در محیط کشت MS با نصف غلظت نمک‌ها، همراه با ویتامین‌های  $5\text{ mg/l B5}$  می‌واینوزیتول،  $0.7\text{ درصد آگار و ۳ درصد ساکارز}$  کشت شدند. تمام کشت‌ها در اتاقک رشد تحت شرایط کنترل شده با تناوب نوری  $16\text{ ساعت روشنایی و ۸ ساعت تاریکی}$  با میزان نور  $160\text{ } \mu\text{Em}^{-2}\text{s}^{-1}$  و دمای  $24 \pm 2^{\circ}\text{C}$  نگهداری شدند. از ریزنمونه‌های برگی گیاهچه‌های ۶ تا ۸ هفته‌ای در فرآیند تاریخی استفاده گردید.

انتقال ژن به کلروپلاست توتون: انتقال ژن با استفاده از تفنگ ژنی (PDS-1000/He Bio-Rad, USA) و بر اساس پارامترهای بهینه انتقال ژن به کلروپلاست توتون و با ذرات تنگستن با قطر  $0.7\text{ میکرومتر، ۱ میکروگرم DNA به ازای هر شلیک، فشار هلیوم شتاب‌دهنده ۱۱۰۰ psi و فاصله شلیک ۶ سانتی‌متری انجام شد (Ehsasatvatan et al., 2022a). ۴۸ ساعت پس از شلیک به ریزنمونه‌های برگی گیاه توتون، ریزنمونه‌ها به قطعات کوچک‌تر تقسیم شده و در محیط گرینش‌گر شامل محیط Svab et al., ) RMOP (1990)، حاوی  $500\text{ mg/l}$  اسپکتینومایسین در شرایط  $25^{\circ}\text{C}$  ساعت روشنایی و ۸ ساعت تاریکی و در دمای  $25^{\circ}\text{C}$  نگهداری شدند. واکشت ریزنمونه‌ها در محیط کشت تازه$

## جدول ۱- توالی آغازگرهای مورد استفاده برای تأیید اولیه درج ژن و وضعیت هموپلاسمی

Table 1. Sequences of the primers used for primary confirmation of gene integration and homoplasmy

نام آغازگر Primer name	توالی ۵'-۳' Sequence (5'-3')	Tm (°C)	طول قطعه تکثیری Amplicon size
P1	CAGCAATATCTTCATGTCC	51	433 bp
P2	GCTCAAGAATTATTGCTTGG	54	
P3	AACTAAACACGAGGGTTGC	55	
P4	AGTATTAGTTAGTGATCCCGAC	53	4.2 kb
P5	AAGAATTGTCCACTACGTGA	53	1.8 kb

برای انجام آزمون لکه‌گذاری وسترن، نمونه‌های پروتئین استخراج شده پس از ترکیب با بافر نمونه (2X) و قرار دادن در دمای ۹۵ °C به مدت ۵ دقیقه، روی ژل پلی‌اکریلامید ۱۲ درصد و مطابق با روش لاملی (Laemmli, 1979) تفکیک شدند. انتقال پروتئین از ژل به غشاء PVDF طبق شیوه‌نامه Bio-Rad و به وسیله دستگاه Mini transblot (Bio-Rad) به مدت ۱ ساعت و در دمای ۰ °C با ولتاژ ۱۰۰ انجم شد. تشخیص ایمونولوژیکی پروتئین همجوشی سه‌جزئی متصل به برچسب هیستیدینی با استفاده از آنتی‌بادی خرگوشی علیه برچسب هیستیدینی به عنوان آنتی‌بادی اولیه و آنتی‌بادی بزی ضدخرگوش متصل به HRP به عنوان آنتی‌بادی ثانویه با استفاده از شیوه‌نامه Bio-Rad صورت گرفت.

آزمون الایزا برای پرسی میزان تجمع پروتئین: بررسی کمی و تعیین محتوی پروتئین همجوشی سه‌جزئی در برگ گیاهان ترانسپلاستوم با استفاده از آزمون الایزا انجام شد. به این منظور، ۵۰ نانوگرم از پروتئین محلول برگ از گیاهان ترانسپلاستوم و گیاه نوع وحشی در هر چاهک از پلیت ۹۶ خانه الایزا ریخته شد و پلیت به مدت یک شب در دمای ۰ °C نگهداری شد. مکان‌های اتصال غیراختصاصی با اضافه کردن ۲۰۰ μl محلول بلوكه کننده (PBS حاوی ۰/۱ درصد توئین ۲۰ و ۱ درصد BSA) به هر چاهک و نگهداری به مدت ۲ ساعت در دمای ۰ °C ۳۷ مسدوود شد. ۱۰۰ μl از محلول آنتی‌بادی خرگوشی علیه برچسب هیستیدینی ریقیق شده در بافر بلوكه کننده (۱:۱۰۰۰) به عنوان آنتی‌بادی اولیه و سپس ۱۰۰ μl از محلول آنتی‌بادی بزی ضدخرگوش متصل به HRP ریقیق شده در بافر بلوكه کننده (۱:۱۰۰۰۰) به عنوان آنتی‌بادی ثانویه به هر چاهک اضافه شد. در هر مرحله پلیت به مدت ۲ ساعت در دمای ۳۷ °C قرار گرفت و پس از هر مرحله، سه مرتبه شستشوی پلیت با ۲۰۰ μl

آزمون لکه‌گذاری سادرن: وضعیت هموپلاسمی گیاهان ترانسپلاستوم و همچنین یکپارچگی کاست درج شده در ژنوم کلروپلاست این گیاهان با استفاده از آزمون لکه‌گذاری سادرن تعیین شد. به این منظور، ۲ تا ۳ میکروگرم از DNA کل گیاهان BgII ترانسپلاستوم و گیاه نوع وحشی با استفاده از آنزیم برشی هضم شد. سپس DNA هضم شده به وسیله الکتروفورز با ولتاژ ۵۰ به مدت ۶ ساعت روی ژل آگارز ۰/۸ درصد تفکیک شد. انتقال DNA از ژل به غشاء نایلونی با بار مثبت به روش کاپیلاری انجام گردید. برای نشان دار کردن کاوشگر تهیه شده از ژن 16S rRNA ژنوم کلروپلاست از سیستم غیررادیواکتیو PCR DIG probe synthesis kit DIG (Roche) استفاده شد. دورگه‌سازی، مراحل شستشو و تشخیص سیگنال‌ها بر اساس شیوه‌نامه کیت DIG DNA Labeling and Detection (Roche) در دستگاه آون هیریداسیون با دمای هیریداسیون ۶۵ °C انجام شد. از کل گیاه نوع وحشی به عنوان شاهد منفی استفاده گردید. استخراج پروتئین و لکه‌گذاری وسترن: پروتئین کل محلول از برگ گیاهان ترانسپلاستوم و گیاه نوع وحشی برای استفاده در آزمون لکه‌گذاری وسترن و الایزا استخراج شد. به این منظور، ۱۰۰ میلی‌گرم از برگ تازه گیاهان ترانسپلاستوم و گیاه نوع وحشی توتوون با استفاده از نیتروژن مایع پودر شده و با ۵۰۰ μl از بافر استخراج پروتئین سرد (PBS با pH: ۷/۴ ۱X) ترکیب و به مدت ۱۰ دقیقه در دمای ۰ °C ورتكس شد. محلول حاصل به مدت ۱۵ دقیقه در دمای ۰ °C ورتكس شد. محلول حاصل در دور در دقیقه سانتریفیوژ شد. مایع رویی حاوی پروتئین کل محلول برگ جهت استفاده در مراحل بعد در دمای ۰ °C و ۱۲۰۰۰ دور در دقیقه سانتریفیوژ شد. غلظت پروتئین استخراج شده به روش براوفورد تعیین شد (Bradford, 1976).

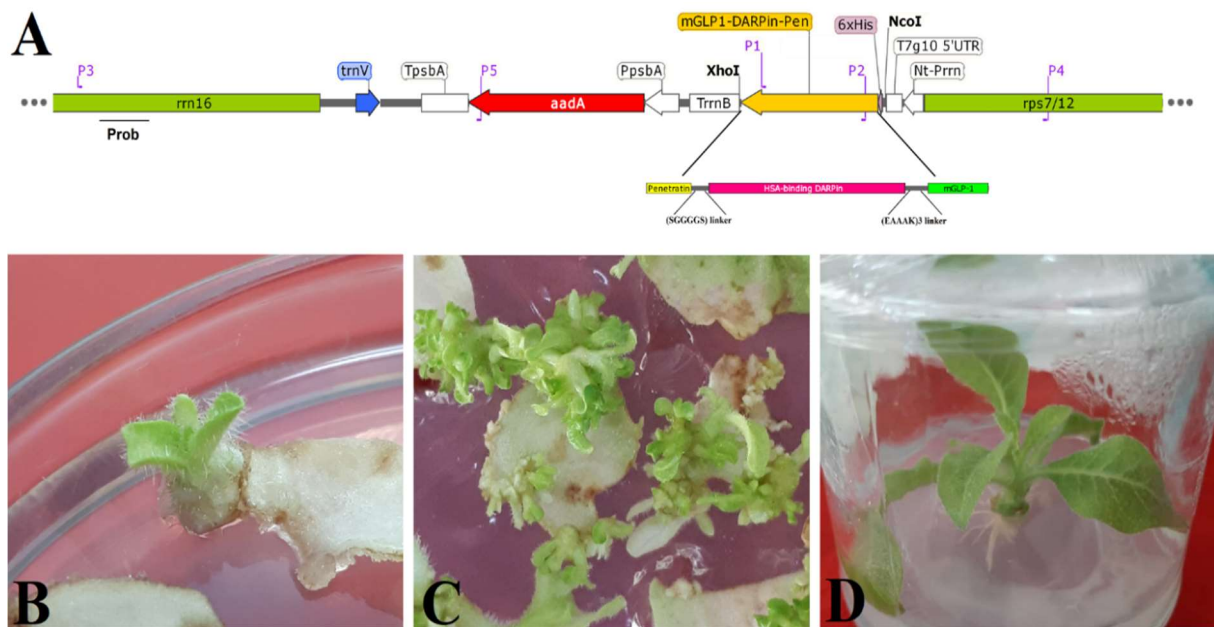
pPRV111A در ناقل *NcoI/XbaI* همسانه‌سازی شد (شکل ۱A). بر این اساس، تراژن تحت راهانداز *rrn* توتون (*Prrn*) و توالی ۵'UTR بهینه‌سازی شده ۱۰ فاژ T7 (T7g10) شامل توالی افزاینده TTAACCTTA (تحت عنوان موتیف 16S mRNA که باعث افزایش تمایل اتصال mRNA به rRNA می‌شود)، توالی ۱۰ نوکلئوتیدی فاصله‌انداز پلی A (TAKAGGAGTG) بهبود میزان ترجمه شده می‌گردد) و توالی RBS بهعنوان جایگاه اتصال ریبوزوم (RBS) بیان شد (*rrnB*, Takahashi *et al.*, 2013). از توالی پایان‌دهنده اپرون باکتری *E. coli* نیز در پایین دست توالی رمزکننده پروتئین هجوشی استفاده شد. این عناصر تنظیمی تضمین‌کننده بیان بالای پروتئین هجوشی در کلروپلاست توتون می‌باشند.

**mGLP1-DARPin-Pen** تولید گیاهان ترانسپلاستوم بیان‌کننده ۳۵ روز پس از شلیک ناقل کلروپلاستی حاوی mGLP1-DARPin-Pen رژن رمزکننده پروتئین هجوشی سه‌جزئی (Pen)، گیاهچه‌های مقاوم به آنتی‌بیوتیک در محیط گزینش حاوی ۵۰۰ mg/L BAP و ۰/۱ mg/L NAA باز زا شدند (شکل ۱B). پس از سه دوره باززایی و گزینش گیاهچه‌های مقاوم در محیط گزینش، گیاهچه‌های ۵ تا ۱۰ میلی‌متری از ریزنمونه‌های برگی جدا و برای رشد بیشتر به محیط جدید بدون تنظیم‌کننده‌های رشد مستقل شدند (شکل ۱C). پس از رشد مطلوب و دو هفته بعد از انتقال به محیط ریشه‌زایی شامل محیط RMOP بدون تنظیم‌کننده‌های رشد، گیاهچه‌های مقاوم به اسپکتینومایسین/استرپتومایسین، ۱ mg/L گلوتامین و آسپارتیک اسید برای ایجاد مقاومت در برابر تریپسین بود (Xu *et al.*, 2017). از آنجایی که انتهای آزاد آمینه GLP-1 برای فعالیت بیولوژیکی و انتهای آزاد کربوکسیلی پتراتین به عنوان پیتید نفوذکننده به سلول جهت تسهیل ورود پروتئین هجوشی از طریق سلول‌های اپتیلیوم روده برای عملکرد آن ضروری است، پروتئین هجوشی به گونه‌ای طراحی شد که دارپین متصل شونده به آلبومین انسانی به‌واسطه لینکر سخت (EAAAK) به انتهای کربوکسیلی GLP-1 و توالی پتراتین به‌واسطه لینکر انعطاف‌پذیر (SGGGGS) به انتهای کربوکسیلی دارپین متصل شد (Kohnehrouz, Ehsasatvatan and Baghban, 2023a; Ehsasatvatan and Kohnehrouz, 2023c; Kohnehrouz, Ehsasatvatan and Kohnehrouz, 2024). پروتئین هجوشی با استفاده از آنزیم‌های محدودکننده گیاهان ترانسپلاستوم انجام شد.

محلول شستشوی PBS-T (PBS حاوی ۱٪ درصد توئین ۲۰۰ μl) از محلول سوبستراتی TMB پراکسیداز (۲۰۰ میلی‌مولار بافر سیترات با pH: ۳/۹۵ ۱ درصد و ۰/۰۱ TMB در دمای ۴۰°C (H<sub>2</sub>O<sub>2</sub>) به هر چاهک اضافه و پلیت تا زمان تشکیل رنگ در دمای محیط و تاریکی نگهداری شد. با اضافه کردن ۱۰۰ μl اسید سولفوریک ۲ مولار به هر چاهک واکنش تشکیل رنگ متوقف و جذب نوری در طول موج ۴۵۰ نانومتر اندازه‌گیری شد. این آزمایش ۲ بار و هر بار در ۳ تکرار انجام شد.

## نتایج و بحث

طراحی و ساخت سازه بیانی کلروپلاستی: توالی نوکلئوتیدی بهینه‌شده پروتئین هجوشی سه‌جزئی mGLP1- mGLP1-DARPin-Pen به طول ۵۸۸ جفت‌باز در ناقل پلاستیدی pPRV111A همسانه‌سازی شد. پس از بهینه‌سازی کدونی، میزان GC در حدود ۴۴/۲۳ درصد و در محدوده قابل قبول (۳۰ تا ۷۰ درصد) و شاخص سازگاری کدونی نیز ۰/۹ و در محدوده قابل قبول (۰/۸ تا ۱) بود. پروتئین هجوشی سه‌جزئی طراحی شده شامل یک توالی تغییریافته از GLP-1 حاوی جایگزینی اسیدآمینه آلانین در موقعیت ۸ با گالاپسین برای ایجاد مقاومت در برابر دی‌پیتیدیل ترانس‌فراز IV و جایگزینی اسیدآمینه لیزین در موقعیت‌های ۲۶ و ۳۴ به ترتیب با اسیدهای آمینه گلوتامین و آسپارتیک اسید برای ایجاد مقاومت در برابر تریپسین بود (Xu *et al.*, 2017). از آنجایی که انتهای آزاد آمینه GLP-1 برای فعالیت بیولوژیکی و انتهای آزاد کربوکسیلی پتراتین به عنوان پیتید نفوذکننده به سلول جهت تسهیل ورود پروتئین هجوشی از طریق سلول‌های اپتیلیوم روده برای عملکرد آن ضروری است، پروتئین هجوشی به گونه‌ای طراحی شد که دارپین متصل شونده به آلبومین انسانی به‌واسطه لینکر سخت (EAAAK) به انتهای کربوکسیلی GLP-1 و توالی پتراتین به‌واسطه لینکر انعطاف‌پذیر (SGGGGS) به انتهای کربوکسیلی دارپین متصل شد (Kohnehrouz, Ehsasatvatan and Baghban, 2023a; Ehsasatvatan and Kohnehrouz, 2023c; Kohnehrouz, Ehsasatvatan and Kohnehrouz, 2024). پروتئین هجوشی با استفاده از آنزیم‌های محدودکننده



شکل ۱-۱) نقشه فیزیکی ناقل پلاستیدی حاوی ژن پروتئین همجوشی سه‌جزئی mGLP1-DARPin-Pen همراه با جایگاه‌های برش آنزیمی مورد استفاده برای همسانه‌سازی. rps7/12: توالی رمزکننده پروتئین ریبوزومی S12/7; Nt-Prnr: توالی راهانداز ژن *rrn* توتون؛ mGLP1-DARPin-Pen: ناحیه غیرترجمه شونده<sup>۵</sup> ژن ۱۰ فاز ۶: آمینواسیدی برچسب هیستیدینی؛ T7g10 ۵'UTR: توالی خاتمه‌دهنده ژن پروتئین همجوشی *rrnB* باکری *E. coli*; PpsbA: توالی رمزکننده ژن آمینوگلیکوزید ۳'-آدنیلیل‌ترانسферاز اعطاکننده مقاومت به اسپیکتینومایسین/استرپتومایسین؛ راهانداز ژن *psbA*: aadA; TpsbA: توالی رمزکننده ژن آمینوگلیکوزید ۳'-آدنیلیل‌ترانسفراز اعطاکننده مقاومت به اسپیکتینومایسین؛ TpsbA: توالی خاتمه‌دهنده ژن *psbA*; rRNA16S: توالی رمزکننده RNA ریبوزومی 16S پلاستیدی؛ P1 تا P5: مکان اتصال آغازگرهای مورد استفاده و prob جایگاه کاوشگر مورد استفاده در لکه‌گذاری سادرن را نشان می‌دهند. (B) ظهور و رشد گیاه‌چه سبز و مقاوم در محیط RMOP حاوی ۵۰۰ mg/l اسپیکتینومایسین ۳۵ روز پس از شلیک، (C) گیاه ترانسپلاستوم ریشه‌دار شده در محیط RMOP حاوی ۵۰۰ mg/l استرپتومایسین/اسپیکتینومایسین، (D) گیاه ترانسپلاستوم ریشه‌دار شده در محیط RMOP حاوی ۵۰۰ mg/l استرپتومایسین/اسپیکتینومایسین.

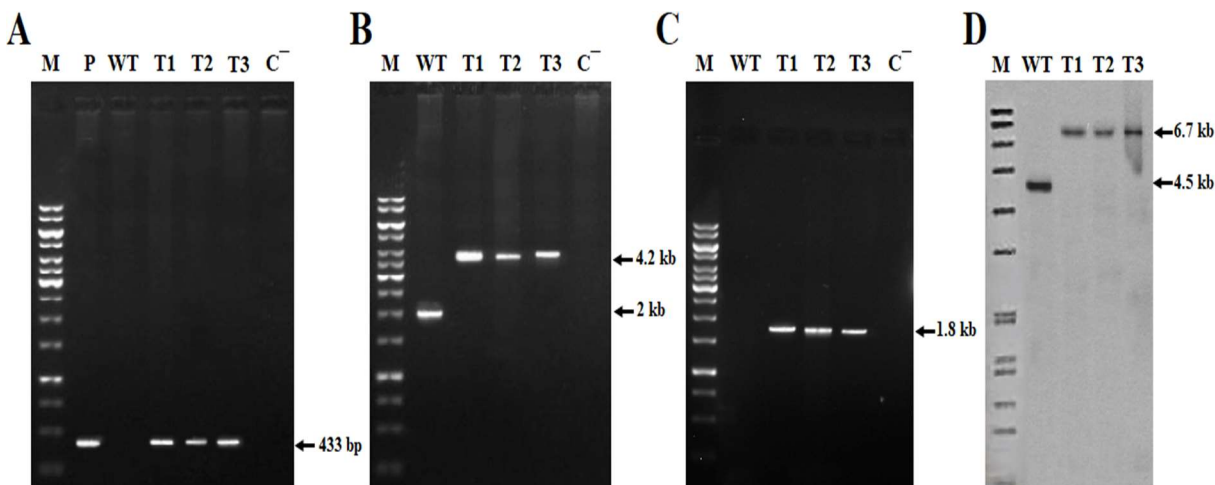
Figure 1. A) Physical map of the plastidial vector containing the mGLP1-DARPin-Pen trivalent fusion protein gene, along with the restriction site used in cloning. rps7/12: ribosomal S12/7 protein encoding sequence, Nt-Prnr: ribosomal RNA operon promoter from tobacco; T7g10 5' UTR: 5' untranslated region of bacteriophage T7 gene 10; 6x His: histidine tag sequence, mGLP1-DARPin-Pen: coding sequence of mGLP1-DARPin-Pen fusion protein, TrrnB: rRNA 3' untranslated region from *E. coli*; PpsbA: promoter and 5' UTR of psbA gene; aadA: aminoglycoside 3'-adenylyltransferase gene; TpsbA: terminator of psbA gene. rRNA16: plastidial 16s rRNA encoding sequence, P1-P5: annealing sites of primers used, prob: site of designed prob. B) The appearance and growth of the green and resistant seedlings on RMOP medium containing 500 mg/l spectinomycin 35 days after shooting, C) resistant seedlings obtained from the third round of regeneration on RMOP medium containing 500 mg/l streptomycin /spectinomycin, D) rooted transplastomic plants in MS medium containing 500 mg/l streptomycin/spectinomycin 3 months after shooting.

حالی‌که در گیاه نوع وحشی تکثیری مشاهده نشد که نشان از عدم حضور ژن مذکور در ژنوم آن است (شکل ۲A). از یک جفت آغازگر طراحی شده از ژنوم کلروپلاست در نواحی نزدیک به ناحیه درج کاست ژنی (P3/P4) برای تأیید حضور یکپارچه و کامل کاست بیانی در ژنوم کلروپلاست گیاهان ترانسپلاستوم استفاده شد. در گیاهان

تأیید درج ژن و وضعیت هموپلاسمی: حضور ژن رمزکننده پروتئین همجوشی mGLP1-DARPin-Pen با استفاده از آغازگرهای اختصاصی طراحی شده از تراژن تأیید شد (جدول ۱). گیاهان ترانسپلاستوم قطعه‌ای با اندازه ۴۳۳ bp و هماندازه با قطعه تکثیر شده از پلاسمید مورد استفاده در ترازیختی به عنوان شاهد مثبت تکثیر کردند، در

برای تأیید دقیق مولکولی درج کامل کاست بیانی کلروپلاستی در ژنوم کلروپلاست و هموپلاسمی صدرصدی گیاهان ترانسپلاستوم توتوون از آزمون لکه‌گذاری سادرن استفاده شد. با استفاده از کاوشگر تهیه شده از ناحیه *rrn16* ژنوم کلروپلاست توتوون و کل سلولی هضم شده با *Bg*/II در گیاهان ترانسپلاستوم قطعه‌ای با اندازه kb ۶/۷ مشاهده شد، در صورتی که در گیاه شاهد قطعه‌ای با اندازه ۴/۵ kb مشاهده گردید که نشان‌دهنده عدم حضور کاست بیانی در ژنوم کلروپلاست این گیاهان است (شکل ۲D). عدم مشاهده قطعه ۴/۵ kb در گیاهان ترانسپلاستوم تأیید کننده هموپلاسمی صدرصدی این گیاهان است.

ترانسپلاستوم، قطعه‌ای با اندازه تقریبی ۴/۲ kb تکثیر شد، در حالی که در گیاه نوع وحشی فقط یک قطعه DNA با اندازه تقریبی ۲ kb تکثیر شد و عدم وجود قطعه ۲ kb در گیاهان ترانسپلاستوم تأیید اولیه‌ای بر هموپلاسمی این گیاهان می‌باشد (شکل ۲B). در واکنش‌های PCR با استفاده از آغازگرهای طراحی شده از ژنوم کلروپلاست در ناحیه نزدیک به ناحیه درج کاست ژنی به عنوان آغازگر رفت (P3) و آغازگر طراحی شده از ژن *aadA* به عنوان آغازگر برگشت (P5) در تمام گیاهان ترانسپلاستوم قطعه‌ای با اندازه تقریبی ۱/۸ kb تکثیر شد، در حالی که گیاهان شاهد قادر به تولید هیچ قطعه DNA با این جفت آغازگر نبودند (شکل ۲C).

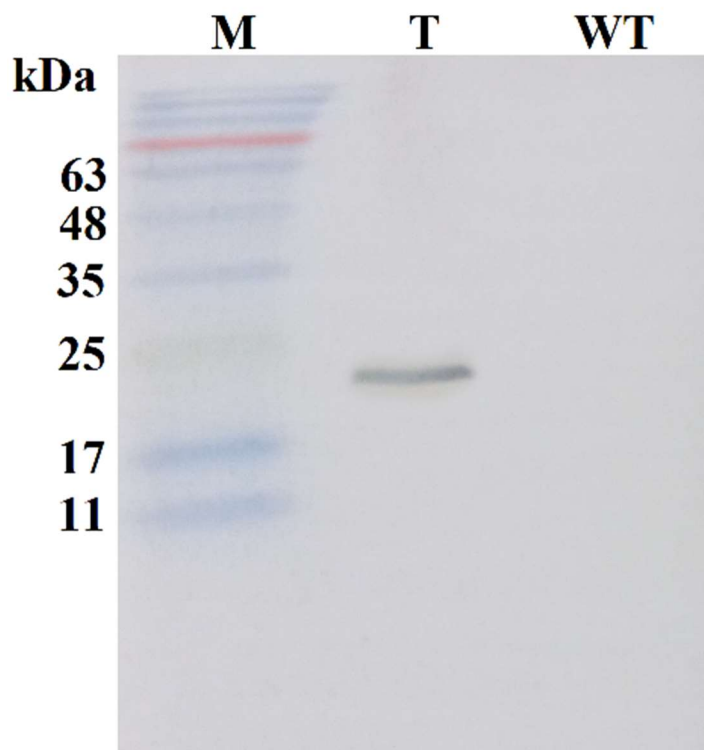


شکل ۲- آنالیزهای مولکولی گیاهان ترانسپلاستوم، (A) تکثیر PCR با استفاده از آغازگرهای اختصاصی ژن پروتئین همجوشی، (B) تکثیر PCR با استفاده از آغازگرهای طراحی شده از ژنوم کلروپلاست در نواحی دو طرف ناحیه درج کاست ژنی، (C) تکثیر PCR با استفاده از آغازگر رفت از ژنوم کلروپلاست نزدیک به ناحیه درج کاست ژنی و آغازگر برگشت از ژن *aadA*. M: نشانگر وزن مولکولی ۱ kb DNA Ladder (Fermentas), P: پلاسمید نوترکیب استفاده شده در تراریختی، WT: گیاهان نوع وحشی، T1، T2 و T3: گیاهان ترانسپلاستوم، C<sup>-</sup>: واکنش بدون DNA به عنوان شاهد منفی. آزمون لکه‌گذاری سادرن گیاهان ترانسپلاستوم توتوون. M: نشانگر وزن مولکولی VII (Roche DIG) نشان دار شده با (D) WT: گیاه توتوون نوع وحشی، T1، T2 و T3: گیاهان ترانسپلاستوم.

Figure 2. Molecular analysis of transplastomic plants: A) PCR amplification using fusion protein-specific primers, B) PCR amplification with flanking sequence primers, C) PCR amplification using a forward primer from the chloroplast genome near the insertion site of the gene cassette and reverse primer from the *aadA* gene. M: 1 kb DNA Ladder (Fermentas) molecular weight marker; P: recombinant vector used in transgenesis; WT: non-transgenic tobacco plants as control; T1, T2, and T3: Transplastomic plants; C<sup>-</sup>: DNA-free reaction as a negative control. D) Southern blotting of transplastomic tobacco plants; M: DIG-labeled molecular marker VII; WT: wild-type tobacco plant; T1, T2, and T3: Transplastomic plants.

با استفاده از آزمون الایزا میزان تجمع پروتئین همجوشی mGLP1-DARPin-Pen توتون تعیین شد. تجمع پروتئین در برگ گیاهان ترانسپلاستوم mGLP1- ترانسپلاستوم به صورت درصد پروتئین در برگ گیاهان DARPin-Pen در پروتئین کل محلول برگ در ۳ تکرار mGLP1- محاسبه شد. محتوی پروتئین همجوشی DARPin-Pen در گیاهان ترانسپلاستوم ۲۱/۸ درصد از پروتئین کل محلول برگ و معادل با ۳/۶ mg/g وزن تر برگ برآورد شد. طبق انتظار، عدم مشاهده سیگنال در آزمون الایزا گیاه نوع وحشی نشان‌دهنده عدم وجود پروتئین همجوشی mGLP1-DARPin-Pen در این گیاهان است.

تجمع و بیان پروتئین همجوشی-**mGLP1-DARPin** در گیاهان ترانسپلاستوم: بیان و تجمع پروتئین همجوشی mGLP1-DARPin-Pen در برگ گیاهان ترانسپلاستوم توتون توسط آزمون لکه‌گذاری وسترن و آزمون الایزا با استفاده از پروتئین کل محلول برگ بررسی شد. آزمون لکه‌گذاری وسترن با استفاده از آنتی‌بادی علیه برچسب هیستدینی نوار مورد انتظار با اندازه تقریبی ۲۲ کیلو Dalton مربوط به پروتئین همجوشی mGLP1-DARPin-Pen را در نمونه‌های مربوط به پروتئین کل محلول برگ گیاهان ترانسپلاستوم توتون نشان داد. نوار متناظر در گیاه نوع وحشی مشاهده نشد که نشان دهنده عدم وجود پروتئین هدف در این گیاهان است (شکل ۳).



شکل ۳- بیان و تجمع پروتئین همجوشی mGLP1-DARPin-Pen در گیاهان ترانسپلاستوم توتون با استفاده از پروتئین محلول کل برگ با استفاده از آنالیز لکه گذاری وسترن، M: نشانگر پروتئینی PR911654 Pre-stained Protein Ladder، سیناکلون)، T: گیاه ترانسپلاستوم بیان کننده mGLP1-DARPin-Pen: WT: گیاه توتون نوع وحشی. نوار حدود ۲۲ kDa پروتئین همجوشی mGLP1-DARPin-Pen را نشان می دهد.

Figure 3. Expression and accumulation of the mGLP1-DARPin-Pen fusion protein in tobacco transplastomic plants using Western blot analysis, M: pre-stained molecular mass markers (PR911654, Sinaclone), T: transplastomic tobacco plant, WT: wild-type tobacco plant. The corresponding band of 22 kDa indicates the DARPin G3 protein.

(Elbrønd *et al.*, 2002). این زنجیره اسید چرب، اتصال به آلبومین را تسهیل می‌کند و در نتیجه نیمه‌عمر آن را ۱۱ تا ۱۵ ساعت در انسان افزایش می‌دهد (Madsen *et al.*, 2007). سماگلولوتید یک آنالوگ از لیراگلولوتید و حاوی ۲-آمینوایزو بوتیریک اسید (Aib) در موقعیت ۸ و یک زنجیره اسید چرب متفاوت است که از طریق یک فاصله انداز پلی‌اتیلن گلیکول کوتاه به لیزین ۲۶ متصل شده است (Madsbad *et al.*, 2011).

علاوه بر این، نیمه‌عمر GLP-1 را می‌توان از طریق اتصال به پذیرنده‌های Fc جینینی (FcRn) و یا آلبومین سرم انسانی (HSA) که منجر به افزایش حجم هیدرودینامیکی پیتید و پاک‌سازی کلیوی کنترل می‌شود به‌طور قابل ملاحظه‌ای افزایش داد (Kontermann, 2016; Strohl, 2015). نیمه‌عمر HSA در گردش خون به‌طور متوسط ۱۹ روز است و به‌طور گستره‌ای برای بهبود ویژگی‌های فارماکوکیتیک پیتیدها و یا پروتئین‌های دارویی استفاده شده است (Kratz, 2008; Yang *et al.*, 2016). آلبیگلولوتید با نام تجاری Eperzan، یک دایمر از توالی GLP-1 تغییریافته متصل به آلبومین سرم انسانی است (Bush *et al.*, 2009) که با جایگزینی آلانین ۸ با گلایسین و نیز بخشی از یک ماکرومولکول، در برابر DPP-IV مقاوم شده و نیمه‌عمر پلاسمای آن تا ۵ روز افزایش یافته و مناسب برای دوز یکبار در هفته می‌باشد (Madsbad *et al.*, 2011).

پروتئین‌های تکرار آنکرین طراحی شده (دارپین‌ها) که پروتئین‌های طراحی شده مشتق از پروتئین‌های تکرار آنکرینی طبیعی با وزن مولکولی کمتر از ۲۰ کیلodalton و پایداری دمایی و ترمودینامیکی بالا و همچنین اختصاصیت و میل ترکیبی بالا نسبت به پروتئین‌های هدف هستند می‌توانند به‌عنوان جایگزینی برای داربست‌های مبتنی بر آن‌تی‌بادی استفاده شوند (Caputi and Navarra, 2020). دارپین‌ها به شکل محلول و با عملکرد بالا در سیستم‌های بیانی باکتری (Goldstein *et al.*, 2007)، مخمر (Zahnd *et al.*, 2007) و گیاه (Ehsasatvatan *et al.*, 2022b) قابل بیان و تولید هستند. دارپین‌ها با میل ترکیبی بالا نسبت به HSA

در تحقیق حاضر، بیان یک آگونیست جدید گیرنده-GLP-1 طولانی اثر با پتانسیل تحويل خوراکی در درمان دیابت نوع ۲ در کلروپلاست گیاه توتون گزارش می‌شود. پروتئین طراحی شده سه‌جزئی شامل یک GLP-1 تغییریافته حاوی جایگزینی آمینواسیدی برای ایجاد مقاومت در برابر برخی از پروتئازها، یک دارپین متصل شونده به آلبومین سرم انسانی برای افزایش نیمه‌عمر GLP-1 در پلاسما و پتراتین به‌عنوان یک پیتید نفوذکننده به سلول برای تسهیل عبور پروتئین همجوشی از سلول‌های اپیتلیوم روده است. بیان mGLP1-DARPin-Pen در کلروپلاست گیاه توتون با استفاده از ناقل DARPin-Pen کلروپلاستی pPRV111A و کاست بیانی حاوی عناصر تنظیمی بهینه‌شده به‌دست آمد. سنجش‌های تشخیص ایمونولوژیک با استفاده از آنتی‌بادی اختصاصی علیه برچسب هیستیدینی، بیان و تجمع پروتئین همجوشی mGLP1-DARPin-Pen را در کلروپلاست توتون ترانسپلاستوم نشان داد. بر این اساس میزان تجمع mGLP1-DARPin-Pen محلول کل سلولی تخمین زده شد.

امروزه، درمان‌های مبتنی بر GLP-1 به‌طور فزاینده‌ای توجه ویژه‌ای را برای درمان دیابت نوع ۲ به خود جلب کرده‌اند. با این حال، نیمه‌عمر پایین GLP-1 در شرایط فیزیولوژیکی، کاربرد درمانی آن را محدود کرده و منجر به تلاش‌های بسیاری برای رفع این محدودیت و تولید پیتیدهای طولانی اثر شده است (Eissa *et al.*, 2021; Reed *et al.*, 2020). به این منظور، انواع جایگزینی در انتهای آمینی GLP-1، به‌ویژه اسید‌آمینه آلانین در موقعیت ۸ انجام شده و واکنش با گیرنده و پایداری متابولیک آن‌ها مورد بررسی قرار گرفته است. اگرندین-۴ به‌عنوان یک آگونیست گیرنده-GLP-1 دارای گلایسین به‌جای آلانین در موقعیت ۸ است و مقاومت فوق العاده‌ای در برابر DPP-IV ارائه می‌دهد (Thum *et al.*, 2002). لیراگلولوتید حاوی یک زنجیره پالیتولیل در لیزین ۲۶ از طریق فاصله‌انداز ۷-گلوتامیل و جایگزینی اسید‌آمینه آرژنین در موقعیت ۳۴ است

افزایش داده است ( Daniell, 2006; Daniell *et al.*, 2009; Scotti *et al.*, 2012). مهم‌تر اینکه، پروتئین‌های دارویی بیان شده در کلروپلاست‌ها و لیوفیلیزه شده را می‌توان در دمای محیط و به طور پایدار به صورت طولانی مدت و بدون کاهش عملکرد، ذخیره و نگهداری کرد ( Ehsasatvatan and Kohnehrouz, 2023d; Herzog *et al.*, 2017; Su *et al.*, 2015 ).

کاون و همکاران ( Kwon *et al.*, 2013 ) در مطالعه‌ای، بیان اگرندین-۴ به عنوان آگونیست گیرنده GLP-1 را به صورت پروتئین همجوشی با زیر واحد B توکسین وبا ( CTB ) در کلروپلاست توتون برای تسهیل تحویل خوراکی دارو از طریق مخاط روده با استفاده از توانایی پتامر CTB برای اتصال به گیرنده‌های GM1 روی اپیتلیوم روده و کپسوله کردن آن در سلول‌های گیاهی برای حفاظت در سیستم گوارش بررسی کردند. سلول‌های تیمار شده با CTB-EX4 تولید و خالص‌سازی شده از توتون، در مقایسه با سلول‌های تیمار نشده، افزایش ۲/۵ برابری انسولین را نشان دادند ( Kwon *et al.*, 2013 ).

پتیدهای نفوذکننده به سلول از جمله پتراتین، Tat و الیگو‌آرژنین‌ها به عنوان سیستم‌های پیشرفت‌های دارو رسانی برای تحویل خوراکی ترکیبات مختلف استفاده می‌شوند ( Kristensen and Nielsen, 2016; Rizzuti *et al.*, 2015 ) در یک مطالعه اخیر، اثر پتراتین بر برهم‌کنش‌های سلولی و بافتی اگرندین-۴ و آنالوگ آناتاگونیست آن ( اگرندین-۹-۳۹ ) مورد بررسی قرار گرفت. نتایج این مطالعه نشان داد که پتراتین اتصال و درونی‌سازی اگرندین ( ۳۹-۹ ) در شرایط آزمایشگاهی و همچنین جذب در تومور در شرایط *in vivo* را افزایش می‌دهد ( Collado Camps *et al.*, 2023 ). بر پایه این گزارش‌های مستدل، در این مطالعه نیز از پتراتین به عنوان پتید نفوذکننده به سلول استفاده شد.

از آنجایی که هزینه فعلی درمان با آگونیست‌های GLP-1 بین ۱۸۰۰ تا ۲۲۰۰ دلار در سال متغیر است، تولید آگونیست‌های عملکردی GLP-1 در گیاهان، تهیه فرم ارزان‌قیمت قابل مصرف خوراکی از این دارو را برای درمان دیابت نوع ۲ تسهیل می‌کند.

می‌توانند برای افزایش نیمه عمر پتیدها و پروتئین‌ها استفاده شوند ( Stumpp *et al.*, 2020 ). دارپین MP0250 که VEGF و فاکتور رشد هپاتوسیت ( HGF ) را برای درمان سرطان ریه غیرسلولی کوچک با جهش در EGFR ( NSCLC ) هدف قرار می‌دهد ( Grząśko *et al.*, 2019 ) شامل دو دارپین متصل شونده به آلبومین است که منجر به افزایش نیمه عمر سرم و افزایش بالقوه نفوذ به تومور این دارپین چند کاره می‌شوند ( Rodon *et al.*, 2015 ).

داروهای پتیدی و پروتئینی بخش منحصر به فرد و حیاتی بازار دارویی بوده و دارای مزایای کلیدی نسبت به داروهای مولکولی کوچک هستند. پتیدهای دارویی در طول ذخیره‌سازی و یا در تجویز خوراکی به شدت مستعد تخریب پروتولیتیک هستند ( McGregor, 2008 ), از این‌رو، اغلب به صورت تزریقی تجویز می‌شوند. همچنین، این پتیدها به دلیل ماندگاری کوتاه پس از خالص‌سازی و یا سنتز شیمیایی، بایستی در شرایط سرما نگهداری شوند و تزریق‌های مکرر این داروها برای اغلب بیماران نامطلوب است ( Hamman and Steenekamp, 2011 ). تحویل خوراکی داروها راه ترجیحی تجویز دارو در انسان محسوب می‌شود، اگرچه تجویز خوراکی پتیدها و پروتئین‌ها اغلب به دلیل قابلیت دسترسی زیستی ضعیف و یا متابولیسم سریع دشوار است ( Brown *et al.*, 2020 ). فرمولهای خوراکی که به راحتی خارج از محیط‌های مراقبت‌های بهداشتی تجویز می‌شوند، برای استفاده طولانی مدت ایده‌آل بوده و در صورت بروز واکنش‌های نامطلوب به راحتی می‌توان آن را قطع کرد. علاوه‌بر این، نگهداری قرص‌ها و سایر اشکال دوز جامد حاوی مواد فعال دارویی در مقایسه با فرم‌های دارویی استریل تسهیل شده است ( Darji *et al.*, 2018 ). رهیافت‌های مختلفی برای غلبه بر برخی موانع و توسعه سیستم‌های انتقال خوراکی این و مؤثر برای پروتئین‌ها توسعه یافته است ( Gleeson *et al.*, 2021; Mahato *et al.*, 2002 ). پیشرفت‌های اخیر در مهندسی ژنتیک پتانسیل استفاده از کلروپلاست‌های گیاهی را برای بیان بالا، مقرر بصره و مقیاس پذیر پروتئین‌های نوترکیب

دیابت نوع ۲ ایجاد می‌کند. با توجه به تولید موفق پروتئین همچوشی عملکردی در گیاه مدل توتون، می‌توان نتایج این تحقیق را به گیاهان خوراکی از جمله کاهو و اسفناج تعیین و تولید کپسول‌های زیستی از این داروی پتیدی با ارزش درمانی و اقتصادی بالا را توسعه داد.

### سپاسگزاری

این مقاله از طرح پسادکتری دانشگاه تبریز با شماره قرارداد ۴۸۲۹/ص استخراج گردیده است. از آزمایشگاه مهندسی رنگیک دانشگاه تبریز به خاطر تأمین امکانات لازم برای اجرای این تحقیق قدردانی می‌گردد.

هزینه‌های بالای درمان و نیاز به تزریق‌های مکرر زیرجلدی داروهای مرتبط با درمان دیابت به دلیل هزینه بالای تولید و خالص‌سازی در سیستم‌های رایج تولید پروتئین‌های نوترکیب می‌باشد. بهره‌گیری از سیستم بیان گیاهی و تولید آنالوگ‌های خوراکی پتیدها و پروتئین‌های دارویی با کاهش هزینه‌های تولید می‌تواند جایگزین مؤثری برای سیستم‌های بیان و تجویز متداول باشد. در این تحقیق، تولید پروتئین همچوشی سه‌جزئی به عنوان آگونیست طولانی اثر گیرنده GLP-1 در کلروپلاست گیاه توتون فرصتی تازه و چالشی برای توسعه فرآیند زیستی جدید برای تولید داروهای خوراکی مبتنی بر GLP-1 در درمان

## References

- Arntzen, C.** (2015). Plant-made pharmaceuticals: from ‘edible vaccines’ to ebola therapeutics. *Plant Biotechnology Journal*, **13**: 1013.
- Biemelt, S. and Sonnewald, U.** (2005). *Molecular Farming in Plants*. Nature Encyclopedia of Life Sciences. Nature Publishing Group, London, UK.
- Bradford, M.M.** (1976). A rapid and sensitive method for the quantitation of microgram quantities of protein utilizing the principle of protein-dye binding. *Analytical Biochemistry*, **72**: 248-254.
- Brown, T.D., Whitehead, K.A. and Mitragotri, S.** (2020). Materials for oral delivery of proteins and peptides. *Nature Reviews Materials*, **5**: 127-148.
- Bush, M., Matthews, J., De Boever, E., Dobbins, R., Hodge, R., Walker, S., Holland, M., Gutierrez, M. and Stewart, M.** (2009). Safety, tolerability, pharmacodynamics and pharmacokinetics of albiglutide, a long-acting glucagon-like peptide-1 mimetic, in healthy subjects. *Diabetes, Obesity and Metabolism*, **11**: 498-505.
- Caputi, A.P. and Navarra, P.** (2020). Beyond antibodies: ankyrins and DARPins. From basic research to drug approval. *Current Opinion Pharmacology*, **51**: 93-101.
- Chen, P., Caldwell, C.G., Mathvink, R.J., Leiting, B., Marsilio, F., Patel, R.A., Wu, J.K., He, H., Lyons, K.A. and Thornberry, N.A.** (2007). Imidazopiperidine amides as dipeptidyl peptidase IV inhibitors for the treatment of diabetes. *Bioorganic & Medicinal Chemistry Letters*, **17**: 5853-5857.
- Collaborators, G. and Ärnlöv, J.** (2020). Global burden of 87 risk factors in 204 countries and territories, 1990–2019: a systematic analysis for the Global Burden of Disease Study 2019. *The Lancet*, **396**: 1223-1249.
- Collado Camps, E., van Lith, S.A., Kip, A., Frieling, C., Joosten, L., Brock, R. and Gotthardt, M.** (2023). Conjugation to a cell-penetrating peptide drives the tumour accumulation of the GLP1R antagonist exendin (9-39). *European Journal of Nuclear Medicine and Molecular Imaging*, **50**: 996-1004.
- Daniell, H.** (2006). Production of biopharmaceuticals and vaccines in plants via the chloroplast genome. *Biotechnology Journal: Healthcare Nutrition Technology*, **1**: 1071-1079.
- Daniell, H., Singh, N.D., Mason, H. and Streatfield, S.J.** (2009). Plant-made vaccine antigens and biopharmaceuticals. *Trends in Plant Science*, **14**: 669-679.
- Darji, M.A., Lalge, R.M., Marathe, S.P., Mulay, T.D., Fatima, T., Alshammari, A., Lee, H.K., Repka, M.A. and Narasimha Murthy, S.** (2018). Excipient stability in oral solid dosage forms: a review. *Aaps Pharmscitech*, **19**: 12-26.

- Dibonaventura, M.D., Wagner, J.S., Girman, C.J., Brodovicz, K., Zhang, Q., Qiu, Y., Pentakota, S.R. and Radican, L. (2010). Multinational Internet-based survey of patient preference for newer oral or injectable Type 2 diabetes medication. *Patient Prefer Adherence*, **4**: 397-406.
- Doyle, J.J. and Doyle, J.L. (1987). A rapid DNA isolation procedure for small quantities of fresh leaf tissue, *Phytochemical Bulletin*, **19**: 11-15.
- Ehsasatvatan, M. and Baghban Kohnehrouz, B. (2024). A new trivalent recombinant protein for type 2 diabetes mellitus with oral delivery potential: design, expression, and experimental validation. *Journal of Biomolecular Structure and Dynamics*. 1-16.
- Ehsasatvatan, M. and Baghban Kohnehrouz, B. (2023a). Designing and computational analyzing of chimeric long-lasting GLP-1 receptor agonists for type 2 diabetes. *Scientific Reports*, **13**: 17778.
- Ehsasatvatan, M. and Baghban Kohnehrouz, B. (2023b). Homoplasmic stability and cytoplasmic inheritance of DARPin G3 scaffold protein in generative and vegetative propagation of transplastoic tobacco plants. *Plant Genetic Researches*, **9**: 1-14 (In Persian).
- Ehsasatvatan, M. and Kohnehrouz, B. (2023c). Effect of linker's length and sequence on the structure and stability of mGLP-1-DARPin fusion protein for treatment of type 2 diabetes: a computational study. *Yafteh*, **25**: 26-47 (In Persian).
- Ehsasatvatan, M. and Kohnehrouz, B.B. (2023d). The lyophilized chloroplasts store synthetic DARPin G3 as bioactive encapsulated organelles. *Journal of Biological Engineering*, **17**: 63.
- Ehsasatvatan, M., Kohnehrouz, B.B., Gholizadeh, A., Ofoghi, H. and Shanehbandi, D. (2022a). Physical and biologically effective parameters in developing transplastomic tobacco plants by particle bombardment method using PDS-1000/He. *Genetic Engineering and Biosafety Journal*, **10**: 237-252 (In Persian).
- Ehsasatvatan, M., Kohnehrouz, B.B., Gholizadeh, A., Ofoghi, H. and Shanehbandi, D. (2022b). The production of the first functional antibody mimetic in higher plants: the chloroplast makes the DARPin G3 for HER2 imaging in oncology. *Biological Research*, **55**: 1-18.
- Eissa, N.G., Elsabahy, M. and Allam, A. (2021). Engineering of smart nanoconstructs for delivery of glucagon-like peptide-1 analogs *International Journal of Pharmaceutics*, **597**: 1-13.
- Elbrønd, B., Jakobsen, G., Larsen, S., Agersø, H., Jensen, L.B., Rolan, P., Sturis, J., Hatorp, V. and Zdravkovic, M. (2002). Pharmacokinetics, pharmacodynamics, safety, and tolerability of a single-dose of NN2211, a long-acting glucagon-like peptide 1 derivative, in healthy male subjects. *Diabetes Care*, **25**: 1398-1404.
- Flint, H.J., Scott, K.P., Duncan, S.H., Louis, P. and Forano, E. (2012). Microbial degradation of complex carbohydrates in the gut. *Gut Microbes*, **3**: 289-306.
- Gleeson, J.P., Fein, K.C. and Whitehead, K.A. (2021). Oral delivery of peptide therapeutics in infants: Challenges and opportunities. *Advanced Drug Delivery Reviews*, **173**: 112-124.
- Goldstein, R., Sosabowski, J., Livanos, M., Leyton, J., Vigor, K., Bhavsar, G., Nagy-Davidescu, G., Rashid, M., Miranda, E. and Yeung, J. (2015). Development of the designed ankyrin repeat protein (DARPin) G3 for HER2 molecular imaging. *European Journal of Nuclear Medicine and Molecular Imaging*, **42**: 288-301.
- Grząśko, N., Knop, S., Goldschmidt, H., Raab, M.S., Dürig, J., Bringhen, S., D'Agostino, M., Gamberi, B., Rivolti, E. and Vacca, A. (2019). The MP0250-CP201 mirror study: a phase 2 study update of MP0250 plus bortezomib and dexamethasone in relapse/refractory multiple myeloma (RRMM) patients previously exposed to proteasome inhibitors and immunomodulatory drugs. *Blood*, **134**: 1899.
- Hamman, J.H., and Steenekamp, J.H. (2011). Oral peptide drug delivery: strategies to overcome challenges. In: Castanho, M. and Santos, N.C., Eds., *Peptide Drug Discovery and Development: Translational Research in Academia and Industry*, pp. 71-90. Wiley-VCH Verlag GmbH & Co. KGaA, Weinheim, GE.

- Herzog, R.W., Nichols, T.C., Su, J., Zhang, B., Sherman, A., Merricks, E.P., Raymer, R., Perrin, G.Q., Häger, M. and Wiinberg, B.** (2017). Oral tolerance induction in hemophilia B dogs fed with transplastomic lettuce. *Molecular Therapy*, **25**: 512-522.
- Johnson, L.M., Barrick, S., Hager, M.V., McFedries, A., Homan, E.A., Rabaglia, M.E., Keller, M.P., Attie, A.D., Saghatelian, A. and Bisello, A.** (2014). A potent  $\alpha/\beta$ -peptide analogue of GLP-1 with prolonged action in vivo. *Journal of the American Chemical Society*, **136**: 12848-12851.
- Kieffer, T.J., McIntosh, C.H. and Pederson, R.A.** (1995). Degradation of glucose-dependent insulinotropic polypeptide and truncated glucagon-like peptide 1 in vitro and in vivo by dipeptidyl peptidase IV. *Endocrinology*, **136**: 3585-3596.
- Kim, B.J., Zhou, J., Martin, B., Carlson, O.D., Maudsley, S., Greig, N.H., Mattson, M.P., Ladenheim, E.E., Wustner, J. and Turner, A.** (2010). Transferrin fusion technology: a novel approach to prolonging biological half-life of insulinotropic peptides. *Journal of Pharmacology and Experimental Therapeutics*, **334**: 682-692.
- Kontermann, R.E.** (2016). Half-life extended biotherapeutics. *Expert Opinion on Biological Therapy*, **16**: 903-915.
- Kratz, F.** (2008). Albumin as a drug carrier: design of prodrugs, drug conjugates and nanoparticles. *J Control Release*, **132**: 171-183.
- Kristensen, M., and Nielsen, H.M.** (2016). Cell-penetrating peptides as carriers for oral delivery of biopharmaceuticals. *Basic & Clinical Pharmacology & Toxicology*, **118**: 99-106.
- Kushwaha, R.N., Srivastava, R., Mishra, A., Rawat, A.K., Srivastava, A.K., Haq, W. and Katti, S.B.** (2015). Design, synthesis, biological screening, and molecular docking studies of piperazine-derived constrained inhibitors of DPP-IV for the treatment of type 2 diabetes. *Chemical Biology & Drug Design*, **85**: 439-446.
- Kwon, K.C., Nityanandam, R., New, J.S. and Daniell, H.** (2013). Oral delivery of bioencapsulated exendin-4 expressed in chloroplasts lowers blood glucose level in mice and stimulates insulin secretion in beta-TC 6 cells. *Plant biotechnology journal*, **11**: 77-86.
- Laemmli, U.** (1979). Slab gel electrophoresis: SDS-PAGE with discontinuous buffers. *Nature*, **227**: 680-685.
- Limaye, A., Koya, V., Samsam, M. and Daniell, H.** (2006). Receptor-mediated oral delivery of a bioencapsulated green fluorescent protein expressed in transgenic chloroplasts into the mouse circulatory system. *FASEB Journal: Official Publication of the Federation of American Societies for Experimental Biology*, **20**: 959.
- Litwak, L., Goh, S.-Y., Hussein, Z., Malek, R., Prusty, V. and Khamseh, M.E.** (2013). Prevalence of diabetes complications in people with type 2 diabetes mellitus and its association with baseline characteristics in the multinational A1chieve study. *Diabetology & Metabolic Syndrome*, **5**: 1-10.
- Luginbuhl, K.M., Schaal, J.L., Umstead, B., Mastria, E.M., Li, X., Banskota, S., Arnold, S., Feinglos, M., D'Alessio, D. and Chilkoti, A.** (2017). One-week glucose control via zero-order release kinetics from an injectable depot of glucagon-like peptide-1 fused to a thermosensitive biopolymer. *Nature Biomedical Engineering*, **1**: 1-14.
- Madsbad, S., Kielgast, U., Asmar, M., Deacon, C.F., Torekov, S.S. and Holst, J.** (2011). An overview of once-weekly glucagon-like peptide-1 receptor agonists—available efficacy and safety data and perspectives for the future. *Diabetes, Obesity and Metabolism*, **13**: 394-407.
- Madsen, K., Knudsen, L.B., Agersoe, H., Nielsen, P.F., Thøgersen, H., Wilken, M. and Johansen, N.L.** (2007). Structure–activity and protraction relationship of long-acting glucagon-like peptide-1 derivatives: importance of fatty acid length, polarity, and bulkiness. *Journal of Medicinal Chemistry*, **50**: 6126-6132.
- Mahato, R.I., Narang, A.S., Thoma, L. and Miller, D.D.** (2003). Emerging trends in oral delivery of peptide and protein drugs. *Critical Reviews™ in Therapeutic Drug Carrier Systems*, **20**: 153-214.

- Martens, E.C., Lowe, E.C., Chiang, H., Pudlo, N.A., Wu, M., McNulty, N.P., Abbott, D.W., Henrissat, B., Gilbert, H.J. and Bolam, D.N.** (2011). Recognition and degradation of plant cell wall polysaccharides by two human gut symbionts. *PLoS Biology*, **9**: 1-16.
- McGregor, D.P.** (2008). Discovering and improving novel peptide therapeutics. *Current Opinion in Pharmacology*, **8**: 616-619.
- Mojsov, S.** (2000). Glucagon-like peptide-1 (GLP-1) and the control of glucose metabolism in mammals and teleost fish. *American Zoologist*, **40**: 246-258.
- Reed, J., Bain, S. and Kanamarlapudi, V.** (2020). Recent advances in understanding the role of glucagon-like peptide 1. *F1000Res*, **9**: 239-253.
- Rizzuti, M., Nizzardo, M., Zanetta, C., Ramirez, A. and Corti, S.** (2015). Therapeutic applications of the cell-penetrating HIV-1 Tat peptide. *Drug Discovery Today*, **20**: 76-85.
- Rodon, J., Omlin, A., Herbschleb, K.H., Garcia-Corbacho, J., Steiner, J., Dolado, I., Zitt, C., Feurstein, D., Turner, D. and Dawson, K.M.** (2015). Abstract B25: First-in-human Phase I study to evaluate MP0250, a DARPin blocking HGF and VEGF, in patients with advanced solid tumors. *Journal of Clinical Oncology*, **39**: 145-154.
- Scotti, N., Rigano, M.M. and Cardi, T.** (2012). Production of foreign proteins using plastid transformation. *Biotechnology Advances*, **30**: 387-397.
- Shah, R.B., Ahsan, F. and Khan, M.A.** (2002). Oral delivery of proteins: progress and prognostication. *Critical Reviews™ in Therapeutic Drug Carrier Systems*, **19**: 2416-2448.
- St Onge, E.L., and Miller, S.A.** (2010). Albiglutide: a new GLP-1 analog for the treatment of type 2 diabetes. *Expert Opinion on Biological Therapy*, **10**: 801-806.
- Steiner, D., Merz, F.W., Sonderegger, I., Gulotti-Georgieva, M., Villemagne, D., Phillips, D.J., Forrer, P., Stumpp, M.T., Zitt, C. and Binz, H.K.** (2017). Half-life extension using serum albumin-binding DARPin® domains. *Protein Engineering, Design and Selection*, **30**: 583-591.
- Strohl, W.R.** (2015). Fusion proteins for half-life extension of biologics as a strategy to make biobetters. *BioDrugs*, **29**: 215-239.
- Stumpp, M.T., Dawson, K.M. and Binz, H.K.** (2020). Beyond antibodies: the DARPin(®) drug platform. *BioDrugs*, **34**: 423-433.
- Su, J., Zhu, L., Sherman, A., Wang, X., Lin, S., Kamesh, A., Norikane, J.H., Streatfield, S.J., Herzog, R.W. and Daniell, H.** (2015). Low cost industrial production of coagulation factor IX bioencapsulated in lettuce cells for oral tolerance induction in hemophilia B. *Biomaterials*, **70**: 84-93.
- Sun, H., Saeedi, P., Karuranga, S., Pinkepank, M., Ogurtsova, K., Duncan, B.B., Stein, C., Basit, A., Chan, J.C. and Mbanya, J.C.** (2022). IDF Diabetes Atlas: Global, regional and country-level diabetes prevalence estimates for 2021 and projections for 2045. *Diabetes Research and Clinical Practice*, **183**: 109119.
- Svab, Z., Hajdukiewicz, P. and Maliga, P.** (1990). Stable transformation of plastids in higher plants. *Proceedings of the National Academy of Sciences*, **87**: 8526-8530.
- Takahashi, S., Furusawa, H., Ueda, T. and Okahata, Y.** (2013). Translation enhancer improves the ribosome liberation from translation initiation. *Journal of the American Chemical Society*, **135**: 13096-13106.
- Thum, A., Hupe-Sodmann, K., Göke, R., Voigt, K., Göke, B. and McGregor, G.** (2002). Endoproteolysis by isolated membrane peptidases reveal metabolic stability of glucagon-like peptide-1 analogs, exendins-3 and-4. *Experimental and Clinical Endocrinology & Diabetes*, **110**: 113-118.
- Xiao, Y., Kwon, K.C., Hoffman, B.E., Kamesh, A., Jones, N.T., Herzog, R.W. and Daniell, H.** (2016). Low cost delivery of proteins bioencapsulated in plant cells to human non-immune or immune modulatory cells. *Biomaterials*, **80**: 68-79.

- Xu, F., Wang, K.Y., Wang, N., Li, G. and Liu, D.** (2017). Modified human glucagon-like peptide-1 (GLP-1) produced in *E. coli* has a long-acting therapeutic effect in type 2 diabetic mice. *PLoS One*, **12**: 0181939.
- Yang, H., Liu, L. and Xu, F.** (2016). The promises and challenges of fusion constructs in protein biochemistry and enzymology. *Appl Microbiol Biotechnol*, **100**: 8273-8281.
- Yusibov, V., Streatfield, S.J. and Kushnir, N.** (2011). Clinical development of plant-produced recombinant pharmaceuticals: vaccines, antibodies and beyond. *Human Vaccines*, **7**: 313-321.
- Zahnd, C., Amstutz, P. and Plückthun, A.** (2007). Ribosome display: selecting and evolving proteins in vitro that specifically bind to a target. *Nature Methods*, **4**: 269-279.
- Zoubenko, O.V., Allison, L.A., Svab, Z. and Maliga, P.** (1994). Efficient targeting of foreign genes into the tobacco plastid genome. *Nucleic Acids Research*, **22**: 3819-3824.
- Zarindast, Z., Nazarian-Firouzabadi, F. and Khademi, M.** (2023). Expression and antimicrobial activity assessment of CBD-alfAFP recombinant peptide produced in tobacco hairy roots against plant pathogens. *Plant Genetic Researches*, **10**: 43-60 (In Persian).